УЛК 546.302:546.722

СИНТЕЗ И СТРОЕНИЕ ТЕТРАЯДЕРНЫХ ГЕТЕРОМЕТАЛЛИЧЕСКИХ КАРБОКСИЛАТОВ ЖЕЛЕЗА(II)-ЛИТИЯ, СТАБИЛИЗИРОВАННЫХ N-ДОНОРНЫМИ ЛИГАНДАМИ

© 2023 г. Д. С. Ямбулатов¹, Ю. К. Воронина¹, С. А. Николаевский^{1, *}, А. И. Поддельский¹, М. А. Кискин¹, И. Л. Еременко¹

¹Институт общей и неорганической химии им. Н.С. Курнакова РАН, Москва, Россия *e-mail: sanikol@igic.ras.ru

Поступила в редакцию 21.11.2022 г. После доработки 02.12.2022 г. Принята к публикации 07.12.2022 г.

В результате многокомпонентных химических реакций с участием $Fe(SO_4) \cdot 7H_2O$, Li(Piv), K(Piv) (Piv = пивалат-анион) и гетероциклических N-донорных лигандов (пиридин (Py), 1,10-фенантролин (Phen)), проведенных в сухом ацетонитриле в инертной атмосфере, синтезированы новые гетерометаллические тетраядерные комплексы $[Fe_2^{II}Li_2(Piv)_6(Py)_2]$ (I) и $[Fe_2^{II}Li_2(Piv)_6(Phen)_2]$ (II), в которых все карбоксилатные анионы выступают в роли мостиковых лигандов. Молекулярная и кристаллическая структура соединений установлена методом PCA (CCDC № 2220576 (I), 2220577 (II · 2CH₃CN). В исследованных комплексах атомы железа(II) находятся в искаженном октаэдрическом лигандном окружении.

Ключевые слова: пивалат, тетраядерный комплекс, железо(II), литий, рентгеноструктурный анализ **DOI:** 10.31857/S0132344X22600539, **EDN:** SADTEI

Гетерометаллические координационные и металлоорганические соединения, содержащие атомы железа и лития в одной молекуле, становятся популярными объектами исследования. Они характеризуются богатой структурной химией [1-4] и перспективными функциональными свойствами [5–8], которыми в некоторой степени можно управлять путем варьирования пространственных и электронных характеристик мостиковых лигандов, а также переключением степеней окисления иона железа. Из наиболее нестандартных областей потенциального применения Fe-Li-coединений следует выделить их использование в качестве металлирующих агентов, способных селективно отшеплять протоны в частично замешенных фтораренах [9]. Значительно чаще Fe-Li-соединения исследуются в качестве перспективных прекурсоров при создании катодов для Li-ионных батарей [10], структурных аналогов неорганических перовскитов [11] или фрустрированных магнитных фаз [12].

Карбоксилатные лиганды являются удобной полифункциональной платформой для создания и исследования новых полиядерных архитектур [13—25], в том числе построенных за счет связывания RCOO-групп с катионами железа и лития [26—29]. Несмотря на то что полиядерные гетеро-

металлические карбоксилаты, содержащие атомы *s*- и *d*-металлов, изучаются достаточно интенсивно [30—37], нам удалось найти в Кембриджском банке структурных данных (версия 5.43 с обновлением в марте 2022 г.) лишь 19 комплексов, структурно охарактеризованных Fe-Li-карбоксилатов. При этом основной проблемой для химиков-синтетиков, работающих в этой области, является склонность ионов железа(II) к окислительному гидролизу [38], приводящему к формированию сложных оксидов и гидроксидов [26, 39, 40].

В настоящей работе представлены результаты по синтезу и исследованию строения гетерометаллических Fe(II)-Li(I)-пивалатных комплексов с тетраядерным $\{Fe_2Li_2\}$ -металлоостовом, стабилизированным координацией нейтральных N-донорных лигандов (пиридина (Py) и 1,10-фенантролина (Phen)).

ЭКСПЕРИМЕНТАЛЬНАЯ ЧАСТЬ

Синтез и выделение целевых продуктов проводили в инертной среде с использованием стандартной техники Шленка. Ацетонитрил (х. ч., Химмед) сушили над оксидом фосфора(V), хранили над активированными молекулярными ситами (4 Å), отбирали конденсацией непосредственно перед

синтезом. Пивалаты лития и калия получали по известным методикам [41, 42]. Перед введением в реакцию с сульфатом железа(II) пивалат калия нагревали при 140°C на масляной бане в течение суток в динамическом вакууме. Пивалат желе- $3a(II) [Fe(Piv)_2]_n$ получали по обменной реакции из $Fe(SO_4) \cdot 7H_2O$ и KPiv в дегазированном этиловом спирте без доступа воздуха перемешиванием в течение 3 сут при комнатной температуре; образуюшийся осадок сульфата калия отфильтровывали после замены растворителя на ацетонитрил и добавления избытка пиридина или эквимолярного количества 1,10-фенантролина для формирования растворимых комплексов железа предполагаемого состава $[Fe_2(Piv)_4(Py)_2]$ или $[Fe(Piv)_2(Phen)]$ [43]. Коммерчески доступные гидроксид лития LiOH · \cdot H₂O и ацетат калия (х. ч., Русхим), Fe(SO₄) \cdot 7H₂O, пиридин (х. ч., Химмед), HPiv (х. ч., Alfa Aesar), Phen (х. ч., Aldrich) использовали без предварительной очистки.

ИК-спектры соединений регистрировали в диапазоне 400-4000 см⁻¹ на спектрофотометре Perkin Elmer Spectrum 65, оснащенном приставкой Quest ATR Accessory (Specac), методом нарушенного полного внутреннего отражения (НПВО). Элементный анализ выполняли на автоматическом C,H,N,S-анализаторе EuroEA-3000 (EuroVektor).

Синтез $[Fe_2Li_2(Piv)_6(Py)_4]$ (I). В стеклянную ампулу помещали навеску пивалата лития (0.108 г. 1.0 ммоль), дегазировали в динамическом вакууме в течение 10 мин. К приготовленному in situ из $Fe(SO_4) \cdot 7H_2O$ (0.254 г, 1.0 ммоль) и KPiv (0.280 г, 2.0 ммоль) пивалату железа(II) сконденсировали 10 мл ацетонитрила и добавили избыток пиридина (1 мл, 12.5 ммоль). Реакционную смесь отфильтровывали от сульфата калия, фильтрат желтого цвета приливали к пивалату лития. Ампулу запаивали и нагревали на масляной бане при температуре 110°C в течение 8 ч до полного растворения пивалата лития и образования прозрачного раствора желтого цвета. Дальнейшее охлаждение реакционной смеси и выдержка при -18°C в течение 24 ч привели к образованию желтых кристаллов. Выход 0.382 г (73%).

Найдено, %: С, 57.22; H, 7.01; N, 5.28. Для $C_{50}H_{74}N_4O_{12}Li_2Fe_2$ вычислено, %: С, 57.26; H, 7.11; N, 5.34.

ИК-спектр (НПВО; v, см⁻¹): 2958 ср, 2915 сл, 2864 сл, 1579 с, 1557 с, 1481 с, 1444 ср, 1409 оч. с, 1359 с, 1224 с, 1152 сл, 1071 сл, 1033 сл, 1005 сл, 939 сл, 898 ср, 791 ср, 754 ср, 701 ср, 603 ср, 559 сл, 409 оч. с.

Синтез [Fe₂Li₂(Piv)₆(Phen)₂] · 2(CH₃CN) (II · 2CH₃CN). В стеклянную ампулу помещали навеску пивалата лития (0.108 г, 1.0 ммоль), дегазировали в динамическом вакууме в течение 10 мин.

К приготовленному *in situ* из $Fe(SO_4) \cdot 7H_2O$ (0.254 г, 1.0 ммоль) и KPiv (0.280 г, 2.0 ммоль) пивалату железа(II) сконденсировали 10 мл ацетонитрила и добавляли Phen. Реакционную смесь рыжего цвета отфильтровывали от сульфата калия, фильтрат приливали к пивалату лития. Ампулу запаивали, нагревали на масляной бане при температуре 110° C в течение 10 ч, дальнейшее охлаждение до комнатной температуры приводило к образованию кристаллов зеленого цвета. Выход 0.493 г (84%).

Найдено, %: С, 59.21; H, 6.34; N, 7.09. Для $C_{58}H_{76}N_6O_{12}Li_2Fe_2$ вычислено, %: С, 59.30; H, 6.52; N, 7.15.

ИК-спектр (НПВО; ν , см⁻¹): 3062 сл, 2958 ср, 2918 ср, 2867 ср, 2253 сл, 1576 о.с, 1481 с, 1406 о.с, 1359 с, 1224 с, 1146 сл, 1096 сл, 1030 сл, 933 сл, 892 ср, 845 ср, 795 ср, 723 ср, 600 с, 556 ср, 434 о.с, 421 о.с, 403 о.с.

РСА монокристаллов изученных соединений проведен на автоматическом дифрактометре Bruker D8 Venture, оборудованном ССD-детектором (графитовый монохроматор; Мо K_{α} -излучение, $\lambda = 0.71073$ Å; ω - и φ -сканирование) при температуре 100 К. Выполнен полуэмпирический учет поглощения с помощью программы SADABS [44]. Структуры расшифрованы и уточнены вначале в изотропном, затем в анизотропном приближении по программе SHELXL-2018/3 [45] с использованием OLEX2 [46]. Атомы водорода помещены в геометрически рассчитанные положения и включены в уточнение по модели "наездника". Кристаллографические параметры и детали уточнения структур приведены в табл. 1.

Полный набор рентгеноструктурных параметров структур I, II · $2CH_3CN$ депонирован в Кембриджском банке структурных данных (CCDC № 2220576, 2220577 соответственно; deposit@ccdc.cam.ac.uk или http://www.ccdc.cam.ac.uk/data_request/cif).

РЕЗУЛЬТАТЫ И ИХ ОБСУЖДЕНИЕ

Полиядерные комплексы $[Fe_2^{II}Li_2(Piv)_6(Py)_2]$ (I) и $[Fe_2^{II}Li_2(Piv)_6(Phen)_2]$ (II) получены по реакции соответствующих пивалатных комплексов железа(II) с азотсодержащим основанием (Ру или Phen) и пивалатом лития при температуре 110° С в течение 8-10 ч в растворе ацетонитрила (схема 1).

Таблица 1. Кристаллографические данные и параметры уточнения структур I, II

П	Значение			
Параметр	I	II		
Брутто-формула	2(C ₅₀ H ₇₄ N ₄ O ₁₂ Li ₂ Fe ₂)	$C_{54}H_{70}N_4O_{12}Li_2Fe_2 \cdot 2(C_2H_3N)$		
M	2097.42	1174.82		
Сингония, пр. группа	Triclinic, $P\overline{1}$	Triclinic, $P\overline{1}$		
$a, m \AA$	12.639(2)	11.9192(5)		
b, Å	14.055(2)	12.0100(6)		
c, Å	17.879(3)	12.4795(5)		
α, град	80.098(6)	61.385(1)		
β, град	80.169(6)	79.953(2)		
ү, град	67.402(6)	84.589(1)		
V, Å ³	2869.4(8)	1544.07(12)		
Z	1	1		
μ , mm^{-1}	0.56	0.53		
Размеры кристалла, мм	$0.15\times0.11\times0.02$	$0.18 \times 0.15 \times 0.11$		
T_{\min} , T_{\max}	0.271, 0.381	0.304, 0.381		
Число измеренных отражений	17003	23836		
Число независимых отражений	9830	7796		
Число отражений с $I > 2\sigma(I)$	6993	6863		
$R_{ m int}$	0.052	0.036		
$R_1/wR(F^2)$, $(I>2\sigma(I))$	0.0845/0.2385	0.0320/0.0801		
$R_1/wR(F^2)$, (по всем отражениям)	0.1163/0.2598	0.0384/0.0833		
Число уточняемых параметров	688	384		
Остаточная электронная плотность max/min, е ${\rm \AA}^{-3}$	1.25, -1.06	0.54, -0.41		

Комплексы были выделены из реакционной смеси после ее охлаждения в виде желтых (I) и зеленых (II) монокристаллов. Строение соединений I и II установлено методом РСА (рис. 1). В кристалле молекулы комплексов центросимметричные, при этом в кристаллической ячейке комплекса I содержится две кристаллографически независимые молекулы. Кристаллы соединения II содержат по две сольватные молекулы ацетонитрила на одну молекулу комплекса.

В обоих комплексах центральные атомы железа Fe(1) находятся в искаженном октаэдрическом лигандном окружении, образованном четырьмя атомами кислорода трех пивалатных лигандов и двумя атомами азота концевых донорных лигандов (два Ру или Phen соответственно), а атомы лития Li(1) — в слабоискаженном тетраэдрическом окружении четырех атомов кислорода карбоксильных групп (рис. 2). Заметим, что в ранее описанных полиядерных Fe(III)-Li оксокарбоксилатах металлоостов формально описывается как $\{Fe_4Li_2O_2\}$. Такой металлоостов содержит три различных вида мостиковых карбоксилатов (шесть $O,O'-\mu^2-$, два $O,O-\mu^2-$ и два $O,O,O'-\mu^3-$ карбоксилата) и близок к строению других известных гексаполи-

ядерных карбоксилатов типа $[M_2'M_4''(O)_2(O_2CR)_{10}L_4]$ (M' = Fe(III), Mn(III); M'' = Mn(II), Fe(II), Co(II), Ni(II) [47–49]. В отличие от упомянутых оксокарбоксилатов, металлоостов комплексов I и II описывается составом $\{Fe_2Li_2\}$ и содержит два вида пивалатных лигандов: два $O,O'-\mu^2$ - и четыре $O,O,O'-\mu^3$ -пивалата (в двух из них мостиковый атом кислорода связывает два атома лития и в двух других — атом железа и атом лития).

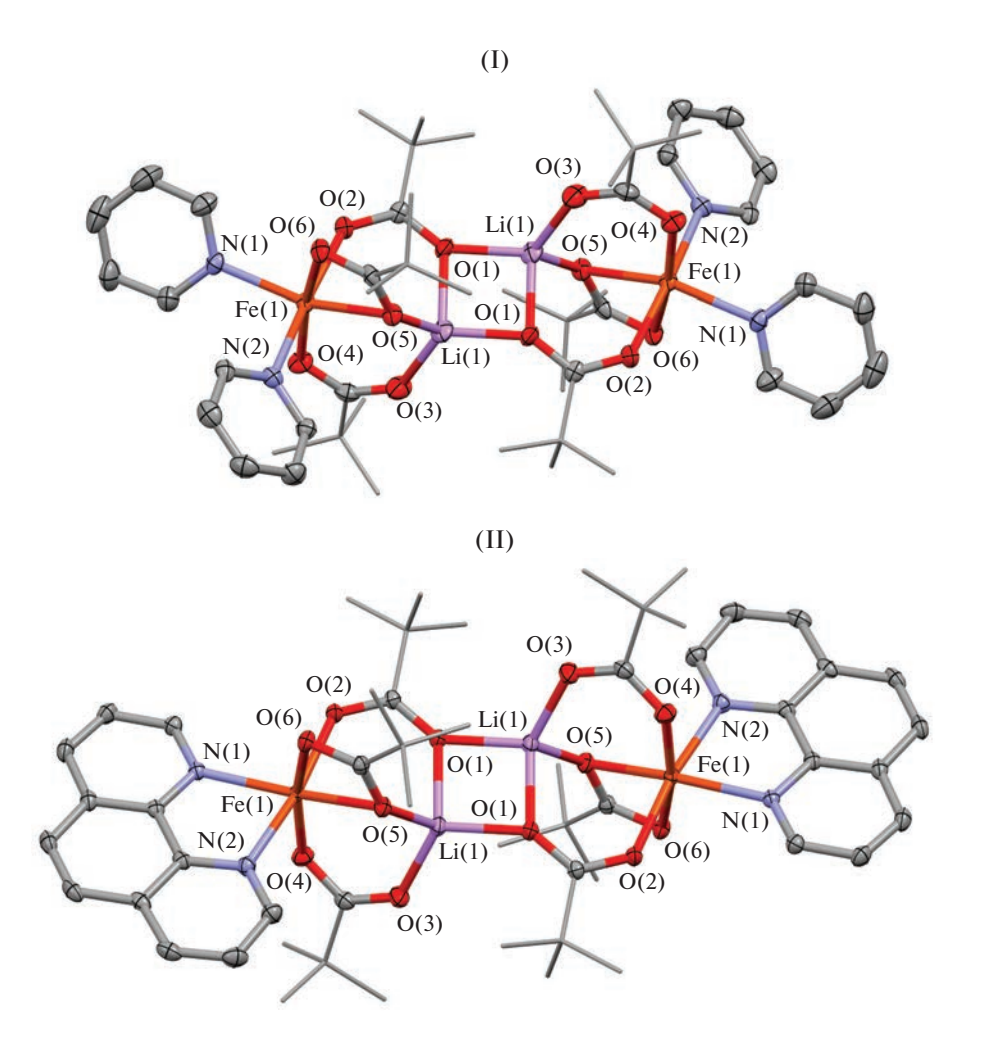


Рис. 1. Молекулярное строение комплексов I и II в кристаллическом состоянии по данным PCA. Эллипсоиды 50%-ной вероятности (атомы углерода *трет*-бутильных групп показаны без эллипсоидов). Атомы водорода не показаны. Некоторые длины связи (Å): Fe(1)-N(1) 2.158(5), Fe(1)-N(2) 2.161(5), Fe(1)-O(2) 2.129(4), Fe(1)-O(4) 2.027(4), Fe(1)-O(5) 2.252(4), Fe(1)-O(6) 2.178(4), Fe(1)-O(1) 1.973(13), Fe(1)-O(3) 1.881(11), Fe(1)-O(5) 1.909(11), Fe(1)-O(1) 1.914(11) (I); Fe(1)-N(1) 2.159(1), Fe(1)-N(2) 2.190(1), Fe(1)-O(2) 2.078(1), Fe(1)-O(4) 2.020(1), Fe(1)-O(5) 2.236(1), Fe(1)-O(6) 2.232(1), Fe(1)-O(1) 2.024(2), Fe(1)-O(3) 1.915(2), Fe(1)-O(5) 1.922(2), Fe(1)-O(1) 1.937(2) (II).

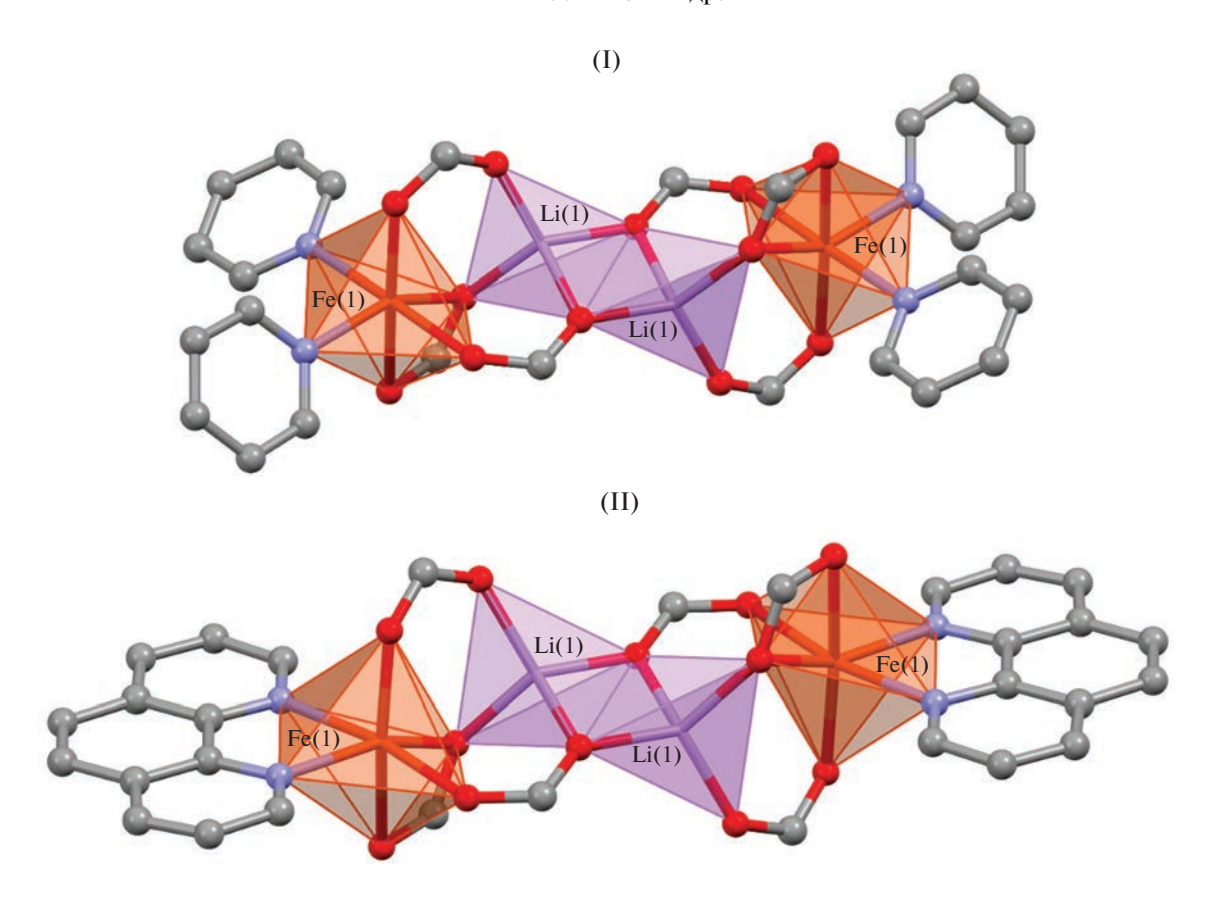


Рис. 2. Полиэдры FeO_4N_2 и LiO_4 в комплексах I и II.

Таким образом в обоих соединениях все карбоксилатные лиганды являются мостиковыми и связывают за счет атомов кислорода ионы железа Fe(1) и лития Li(1). При этом связи Fe(1)—O(2)и Fe(1)-O(4) с немостиковыми атомами О (2.129(4) и 2.027(4) Å в I и 2.078(1) и 2.020(1) Å в II) несколько короче связи Fe(1)-O(5) с мостиковым атомом O (2.252(4) Å в I и 2.236(1) Å в II). Эти связи Fe-O в I и II длиннее, чем в родственных полиядерных железо(III)-литиевых пивалатных комплексах, например $[Fe_3^{III}Li_2(Piv)_{10}(\mu-O)_2(H_2O)_2]$ $(1.988-2.063 \text{ Å}) \text{ [28]}, \text{ [Fe}_{6}^{III} \text{Li}_{5}(^{\prime}\text{BuPO}_{2})_{6}(\text{Piv})_{8}(\mu\text{--}$ $O_{2}(MeOH)_{2}$] (1.96–2.05 Å) [1], что может быть результатом существенного уменьшения делокализации электронной плотности в карбоксилатном фрагменте Fe-O-C=O по сравнению с наличием обычно делокализованного карбоксилатного фрагмента ОСО в соединениях с мостиковыми или полумостиковами анионами карбоновых кислот [50-52]. С другой стороны, связи Fe-О в среднем соответствуют аналогичным связям в полиядерных карбоксилатных комплексах железа(II), например в $[Fe_2^{II} Li_2(L)_6]$ ($L = \mu$ -трет-бутил-3-оксибут-2-еноат) (2.04-2.22 Å) [53].

В кристалле I молекулы комплекса связаны друг с другом ван-дер-ваальсовыми и С—Н...Овзаимодействиями (табл. 2). В кристалле II, помимо внутри и межмолекулярных контактов С—Н...О, между молекулами комплекса реализуются С—Н... π - и π ... π - взаимодействия (табл. 2). При этом в кристалле наблюдаются стекинг-взаимодействия между пиридильным и фенильным циклами координированных молекул Phen соседних молекул, что приводит к формированию супрамолекулярной цепочки (рис. 3).

Таким образом, нами предложены новые эффективные методики синтеза неизвестных ранее молекулярных пивалатов с ионами железа(II) и лития в соотношении 2:2 (комплексы I и II) с выходом более 70%, а также установлено молекулярное и кристаллическое строение этих продуктов. Заметим, что новые комплексы железа(II) с металлоостовом $\{Fe_2Li_2\}$ дополняют серию известных архитектур с ионами кобальта(II), никеля(II), меди(II), цинка(II) и кадмия(II) [54—56] и представляют интерес в качестве объектов исследования магнитных и каталитических свойств.

Авторы заявляют, что у них нет конфликта интересов.

Таблица 2. Основные параметры внутри- и межмолекулярных взаимодействий в I и II (Cg — центроид ароматического кольца, H/C...Cg — расстояние от атома до центра цикла, $C-H-\pi$ — угол между связью C-H и плоскостью цикла, Cg_I-Cg_J — расстояние между центроидами колец I и J, α — угол между плоскостями колец, Cg_I регр — расстояние, определенное как перпендикуляр, опущенный от Cg_I на плоскость кольца J, Slippage — расстояние между Cg_I и перпендикулярной проекцией Cg_I на кольцо I)

ду Cg _I и перпендикулярной проекцией	Содуна кольце 1)					
Тип взаимодействия	Параметры					
	I					
С–НА	Элемент симметрии	D–H, Å	HA, Å	DA, Å	Угол DHA, град	
C(24A)-HO(6A)	-x, $2-y$, $1-z$	0.95	2.42	3.357(8)	169	
C(24B)-HO(2A)	1-x, 1-y, 1-z	0.95	2.51	3.399(11)	155	
	II					
С–НА	Элемент симметрии	D–H, Å	HA, Å	DA, Å	Угол DHA, град	
C(5)–HO(3)	x, y, z	0.98	2.58	3.4922(19)	155	
C(1S)-HO(6)	x, y, z	0.98	2.44	3.079(2)	123	
C(17)—HO(4)	-x, 1-y, 1-z	0.95	2.57	3.4107(18)	147	
C(24)–HN(1S)	x, y, 1+z	0.95	2.59	3.241(2)	126	
С–Нπ	Элемент симметрии	HCg, Å	CCg, Å	С—Н—Сg, град	γ, град	
C(3)—HCg, где Cg — центроид кольца N(1)C(16)C(17)C(18)C(19)C(27)	1+x,y,z	2.81	3.767(2)	166	9.36	
ππ	Элемент симметрии	Cg _I –Cg _J , Å	α, град	Cg _I _perp, Å	γ, град	
$Cg_{I}Cg_{J}$, где кольцо $I-$ N(2)C(25)C(24)C(23)C(23)C(26), кольцо $J-$ C(19)C(20)C(21)C(22)C(23)C(26)C(27)	-x, -y, 2-z	3.7005(10)	0.89(8)	3.3190(7)	26.2	

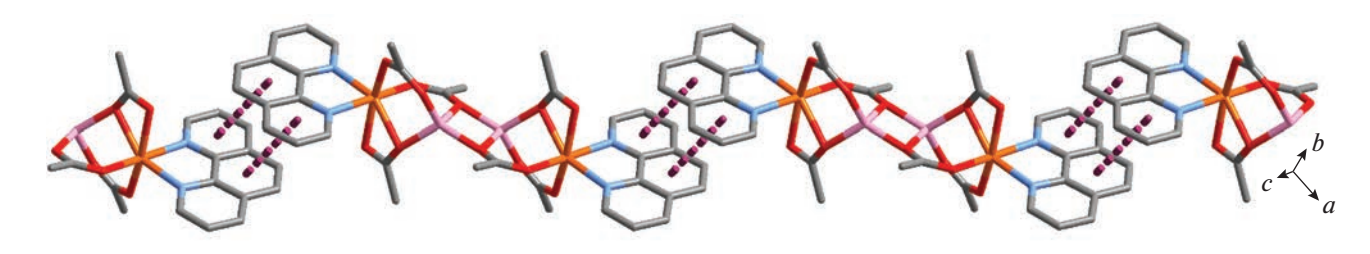


Рис. 3. Фрагмент упаковки молекул II в кристалле (π ... π -взаимодействия показаны пунктиром; атомы H, Ме-группы и сольватные молекулы не показаны).

БЛАГОДАРНОСТИ

РСА, элементный анализ и ИК спектроскопия выполнены с использованием оборудования ЦКП ФМИ ИОНХ РАН.

ФИНАНСИРОВАНИЕ

Работа выполнена при финансовой поддержке Российского научного фонда (грант № 19-13-00436-П).

СПИСОК ЛИТЕРАТУРЫ

- 1. Khanra S., Helliwell M., Tuna F. et al. // Dalton Trans. 2009. P. 6166.
- Mund G., Vidovic D., Batchelor R.J. et al. // Chem. Eur. J. 2003. V. 9. P. 4757.
- Chen C., Fröhlich R., Kehr G., Erker G. // Organometallics, 2008. V. 27. P. 3248.
- 4. Cross R.J., Farrugia L.J., McArthur D.R., Peacock R.D., Taylor D.S.C. // Inorg. Chem. 1999. V. 38. P. 5698.
- Subban C.V., Ati M., Rousse G. et al. // J. Am. Chem. Soc. 2013. V. 135. P. 3653.
- Berben L.A., Long J.R. // Inorg. Chem. 2005. V. 44. P. 8459.
- 7. Scheibitz M., Li H., Schnorr J. et al. // J. Am. Chem. Soc. 2009. V. 131. P. 16319.
- 8. *Martin L., Engelkamp H., Akutsu H. et al.* // Dalton Trans. 2015. V. 44. P. 6219.
- 9. *Maddock L.C.H.*, *Kennedy A.*, *Hevia E.* // Chimia. 2020. V. 74. P. 866.
- Yao W., Armstrong A.R., Zhou X. et al. // Nat. Commun. 2019. V. 10. P. 3483.
- Clulow R., Bradford A.J., Lee S.L., Lightfoot P. // Dalton Trans. 2019. V. 48. P. 14461.
- Yao W., Clark L., Xia M. et al. // Chem. Mater. 2017.
 V. 29. P. 6616.
- 13. Lutsenko I.A., Yambulatov D.S., Kiskin M.A. et al. // Polyhedron 2021. V. 206. P. 115354.
- 14. *Адонин С.А.*, *Новиков А.С.*, *Федин В.П.* // Коорд. химия. 2020. Т. 46. № 2. С. 112 (*Adonin S.A.*, *Novikov A.S.*, *Fedin V.P.* // Russ. J. Coord. Chem. V. 46. P. 119). https://doi.org/10.1134/S1070328420020013
- 15. Nikolaevskii S.A., Petrov P.A., Sukhikh T.S. et al. // Inorg. Chim. Acta. 2020. V. 508. P. 119643.

- 16. *Сидоров А.А.*, *Кискин М.А.*, *Александров Г.Г. и др. //* Коорд. химия. 2016. Т. 42. № 10. С. 581 (*Sidorov A.A.*, *Kiskin M.A.*, *Aleksandrov G.G. et al.* // Russ. J. Coord. Chem. 2016. V. 42. P. 621). https://doi.org/10.1134/S1070328416100031
- 17. Sidorov A.A., Gogoleva N.V., Bazhina E.S. et al. // Pure Appl. Chem. 2020. V. 92. P. 1093.
- 18. Adonin S.A., Petrov M.D., Novikov A.S. et al. // J. Clust. Sci. 2019. V. 30. P. 857.
- 19. Bondarenko M.A., Novikov A.S., Korolkov I.V. et al. // Inorg. Chim. Acta. 2021. V. 524. P. 120436.
- Bondarenko M.A., Abramov P.A., Novikov A.S. et al. // Polyhedron. 2022. V. 214. P. 115644.
- 21. *Бондаренко М.А.*, *Адонин С.А.* // Журн. структур. химии. 2021. Т. 62. № 8. С. 1339 (*Bondarenko M.A.*, *Adonin S.A.* // J. Struct. Chem. 2021. V. 62. P. 1251). https://doi.org/10.1134/S0022476621080114
- Zaguzin A.S., Sukhikh T.S., Kolesov B.A. et al. // Polyhedron. 2022. V. 212. P. 115587.
- 23. *Yoshinari N., Konno T. //* Coord. Chem. Rev. 2023. V. 474. P. 214850.
- 24. Yambulatov D.S., Nikolaevskii S.A., Shmelev M.A. et al. // Mendeleev Commun. 2021. V. 31. P. 624.
- 25. Nikolaevskii S.A., Yambulatov D.S., Voronina J.K. et al. // ChemistrySelect. 2020. V. 5. P. 12829.
- Li J.-H., Liu H., Wei L., Wang G.-M. // Solid State Sci. 2015. V. 48. P. 225.
- 27. Lutsenko I.A., Kiskin M.A., Nikolaevskii S.A. et al. // Mendeleev Commun. 2020. V. 30. P. 273.
- 28. Луценко И.А., Кискин М.А., Александров Г.Г. и др. // Изв. АН. Сер. хим. № 3. С. 0449 (*Lutsenko I.A., Kiskin M.A., Alexandrov G.G. et al.* // Russ. Chem. Bull. 2018. V. 67. P. 449). https://doi.org/10.1007/s11172-018-2091-x
- 29. Луценко И.А., Кискин М.А., Тигай Я.А. и др. // Коорд. химия. 2022. Т. 48. № 11. С. 704 (Lutsenko I.A., Kiskin M.A., Tigai Y.A. et al. // Russ. J. Coord. Chem. 2022. V. 48. P. 760). https://doi.org/10.1134/S1070328422110070
- 30. *Bazhina E.S.*, *Kiskin M.A.*, *Babeshkin K.A. et al.* // Inorg. Chim. Acta. 2023. V. 544. P. 121238.
- 31. *Bazhina E.S., Kiskin M.A., Korlyukov A.A. et al.* // Eur. J. Inorg. Chem. 2020. V. 2020. P. 4116.
- 32. Bazhina E.S., Aleksandrov G.G., Kiskin M.A. et al. // Polyhedron. 2017. V. 137. P. 246.

- 33. Бажина Е.С., Гоголева Н.В., Зорина-Тихонова Е.Н. и др. // Журн. структур. химии. 2019. Т. 60. № 6. С. 893 (Bazhina E.S., Gogoleva N.V., Zorina-Tikhonova E.N. et al. // J. Struct. Chem. 2019. V. 60. P. 855). https://doi.org/10.1134/S0022476619060015
- 34. *Hursthouse M.B.*, *Light M.E.*, *Price D.J.* // Angew. Chem. Int. Ed. 2004. V. 43. P. 472.
- 35. Yao R., Li Y., Chen Y et al. // J. Am. Chem. Soc. 2021. V. 143. P. 17360.
- 36. *Redshaw C., Elsegood M.R.J.* // Angew. Chem. Int. Ed. 2007. V. 46. P. 7453.
- 37. *Mon M., Lloret F., Ferrando-Soria J. et al.* // Angew. Chem. Int. Ed. 2016. V. 55. P. 11167.
- 38. *Yang F., Xing Y., Deng Z. et al.* // Int. J. Chem. React. 2021. V. 19. P. 1103.
- 39. *Li Y.-W., Zhao J.-P., Wang L.-F., Bu X.-H.* // Cryst-EngComm. 2011. V. 13. P. 6002.
- 40. Zeng M.-H., Feng X.-L., Chen X.-M. // Dalton Trans. 2004. P. 2217.
- 41. Зорина-Тихонова Е.Н., Ямбулатов Д.С., Кискин М.А. и др. // Коорд. химия. 2020. Т. 46. № 2. С. 67 (Zorina-Tikhonova E.N., Yambulatov D.S., Kiskin M.A. et al. // Russ. J. Coord. Chem. 2020. V. 46. P. 75). https://doi.org/10.1134/S1070328420020104
- 42. Kiskin M.A., Fomina I.G., Aleksandrov G.G. et al. // Inorg. Chem. Commun. 2004. V. 7. P. 734.
- 43. Randall C.R., Shu L., Chiou Y.-M. et al. // Inorg. Chem. 1995. V. 34. P. 1036.

- 44. Krause L., Herbst-Irmer R., Sheldrick G.M., Stalke D. // J. Appl. Crystallogr. 2015. V. 48. P. 3.
- 45. Sheldrick G.M. // Acta Crystallogr. C. 2015. V. 71. P. 3.
- 46. Dolomanov O.V., Bourhis L.J., Gildea R.J et al. // J. Appl. Crystallogr. 2009. V. 42. P. 339.
- 47. *Çelenligil-Çetin R., Staples R.J., Stavropoulos P.* // Inorg. Chem. 2000. V. 39. P. 5838.
- 48. Cañada-Vilalta C., Huffman J.C., Streib W.E. et al. // Polyhedron. 2001. V. 20. P. 1375.
- 49. *Li J., Zhang F., Shi Q. et al.* // Inorg. Chem. Commun. 2002. V. 5. P. 51.
- 50. Фукин Г.К., Самсонов М.А., Баранов Е.В. и др. // Коорд. химия. 2018. Т. 44. № 5. С. 325 (Fukin G.K., Samsonov M.A., Baranov E.V. et al. // Russ. J. Coord. Chem. 2018. V. 44. P. 626). https://doi.org/10.1134/S1070328418100020
- 51. Fukin G.K., Samsonov M.A., Kalistratova O.S., Gushchin A.V. // Struct. Chem. 2016. V. 27. P. 357.
- 52. *Grabowski S.J., Dubis A.T., Martynowski D. et al.* // J. Phys. Chem. A. 2004. V. 108. P. 5815.
- Han H., Wei Z., Barry M.C. et al. // Dalton Trans. 2017.
 V. 46. P. 5644.
- Dobrokhotova Z., Emelina A., Sidorov A. et al. // Polyhedron. 2011. V. 30. P. 132.
- 55. *Sapianik A.A., Kiskin M.A., Kovalenko K.A. et al.* // Dalton Trans. 2019. V. 48. P. 3676.
- Gogoleva N.V., Kuznetsova G.N., Shmelev M.A. et al. // J. Solid State Chem. 2021. V. 294. P. 121842.